

Relatório de Algoritmos para o Problema do Caixeiro Viajante (TSP Euclidiano)

Antônio Araújo de Brum^{*}

Gustavo Cunha Kneip[†]

02/06/2025

^{*}aadbrum@inf.ufpel.edu.br

[†]gckneip@inf.ufpel.edu.br

Sumário

1	Introdução	3
2	Implementação	3
2.1	Força Bruta (Permutações)	4
2.2	Floyd-Warshall	5
2.3	Held-Karp (Algoritmo Exato e dinâmico)	7
2.4	Christofides (Algoritmo Aproximativo)	8
3	Resultados	9
3.1	Força bruta	9
3.2	Held-Karp	10
3.3	Christofides	11
4	Conclusão	12
5	Executando o código	12

1 Introdução

Este relatório tem como objetivo descrever a implementação e análise de desempenho de três algoritmos para solução do Problema do Caixeiro Viajante (TSP): um algoritmo exato de força bruta (permutações), um algoritmo exato utilizando programação dinâmica (Held-Karp) e um algoritmo aproximativo (Christofides). Os testes foram realizados sobre instâncias com matrizes de adjacência, cujos nomes dos arquivos incluem o custo ótimo esperado, na linguagem **C++**.

Arquivo	Número de nodos	Menor custo
tsp1_253.txt	11	253
tsp2_1248.txt	6	1248
tsp3_1194.txt	15	1194
tsp4_7013.txt	44	7013
tsp5_27603.txt	29	27603

Tabela 1: Características principais dos TSPs

Todas as instâncias trabalhadas respeitam a desigualdade triangular, com exceção do `tsp1`, ou seja, ir diretamente de um vértice A até um vértice C nunca é mais lento que ir de A a C passando por B. Além disso, com exceção do `'tsp4'`, todos os grafos são completos. Isso quer dizer que é possível ir de qualquer vértice a qualquer outro vértice diretamente.

Era esperado que não fosse possível obter os dados das maiores instâncias (44 e 29 vértices) por força bruta, afinal é um algoritmo extremamente ineficiente, mas que talvez o `held-karp` fosse capaz de entregar, ao menos o `'tsp5'`. E, é claro, o algoritmo de Christofides não encontraria o caminho ótimo, mas uma boa aproximação.

O código fonte está implementado em **C++** e disponível neste repositório do github. Mais detalhes da implementação e de como foi contornado o problema de incompletude do `'tsp4'` a seguir.

2 Implementação

As especificações da máquina utilizada para executar o programa são:

- Processador: AMD Ryzen™ 7 5700U with Radeon™ Graphics × 16
- Memória: 12,0 GiB
- Disco: 1,5 TB

Em geral, todos os códigos utilizam bibliotecas de estruturas de dados básicas (vetores, filas, pilhas, etc.) e **chrono** para medição do tempo de execução.

O algoritmo de Christofides utiliza uma biblioteca **blossom V** para encontrar os pares mínimos para vértices em uma das etapas de execução.

Tanto para o código aproximativo quanto para o código exato por programação dinâmica foi necessário alterar a matriz do `'tsp4'` utilizando o algoritmo de Floyd-Warshall (Subseção 2.2), pois estes algoritmos levam em conta que é possível ir de qualquer vértice até qualquer outro, o que não é o caso desta instância.

2.1 Força Bruta (Permutações)

O algoritmo de força bruta avalia exaustivamente todas as permutações possíveis dos vértices, calculando o custo total de cada ciclo Hamiltoniano possível. Ele garante encontrar a solução ótima, mas seu custo computacional torna-o proibitivo para instâncias com mais de 15 vértices.

A implementação utiliza a função `std::next_permutation` para gerar todas as permutações possíveis dos vértices, mantendo o primeiro vértice fixo para evitar ciclos redundantes.

Definição do ciclo A cada permutação dos vértices, é calculado o custo do caminho que passa por todos os vértices na ordem especificada e retorna ao vértice inicial, formando um ciclo fechado.

Tratamento de arestas inexistentes Durante o cálculo de cada ciclo, verifica-se se há arestas ausentes (custo igual a zero, exceto na diagonal). Se alguma aresta for inexistente, a permutação é descartada e o caminho não é considerado válido.

Limite de tempo Como o número de permutações cresce de forma fatorial $((n - 1)!)$, um limite de tempo de 10 horas foi imposto à execução. O algoritmo é interrompido quando esse tempo é ultrapassado, sendo impressos o número total de permutações possíveis e quantas foram de fato executadas até então.

Exemplo de saída Ao final da execução, o algoritmo exibe:

- O custo mínimo encontrado;
- O caminho correspondente (incluindo o retorno ao vértice inicial);
- O tempo de execução;
- O número total de permutações possíveis $((n - 1)!)$;
- O número de permutações realmente avaliadas dentro do tempo limite;

Aspectos práticos Mesmo sendo uma abordagem simples de implementar, o algoritmo de força bruta é viável apenas para grafos muito pequenos ($n \lesssim 15$). Para o 'tsp4' e 'tsp5' o cálculo das permutações totais ultrapassa a representação de inteiros de 64 bits. Então o *número total de permutações possíveis*, apresentado na saída do código, não representa a realidade.

Crescimento assintótico

- **Complexidade temporal:** Para percorrer todos os caminhos possíveis, começando sempre pelo mesmo vértice, o algoritmo deve calcular $(n - 1)!$ caminhos. Levando um tempo fixo para cada permutação o algoritmo leva $(n - 1)!$ unidades de tempo para a realização da tarefa. Portanto $O((n - 1)!)$.
- **Complexidade espacial:** É preciso espaço para armazenar a matriz de adjacência e a permutação atual. $n^2 + n$, portanto $O(n^2)$.

2.2 Floyd-Warshall

Como foi mencionado anteriormente, o grafo em 'tsp4' não é um grafo completo e o 'tsp1' não respeita a desigualdade triangular (Existe caminho mais curto entre 0 e 3 passando por 4).

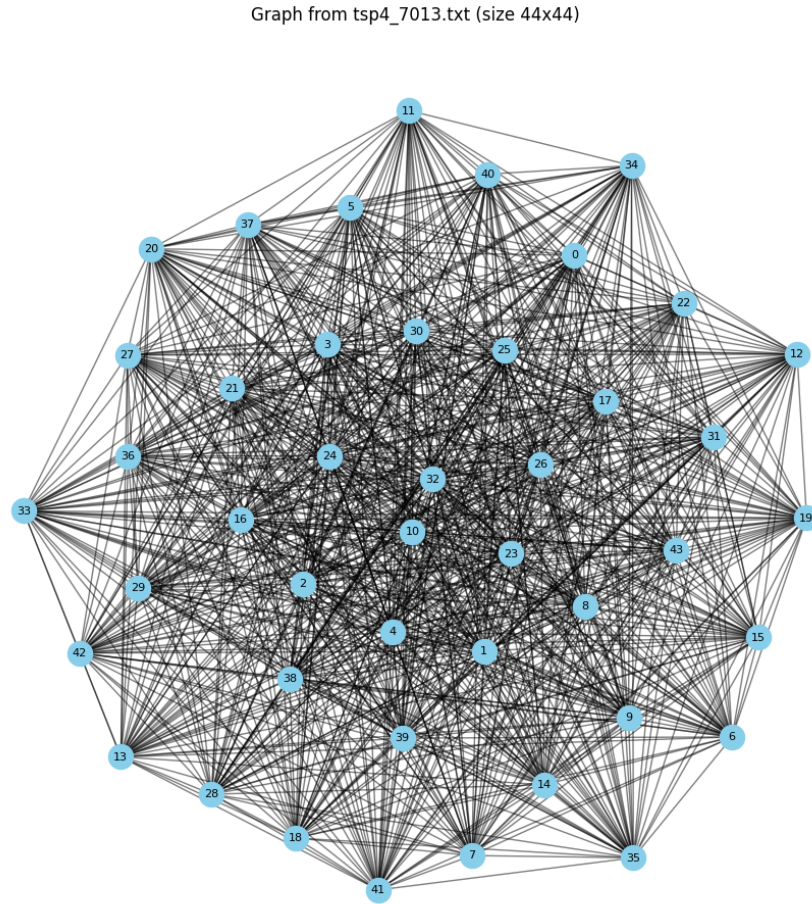


Figura 1: TSP4_7013.txt representado como um grafo utilizando matplotlib em python

Graph from tsp1_253.txt (size 11x11)

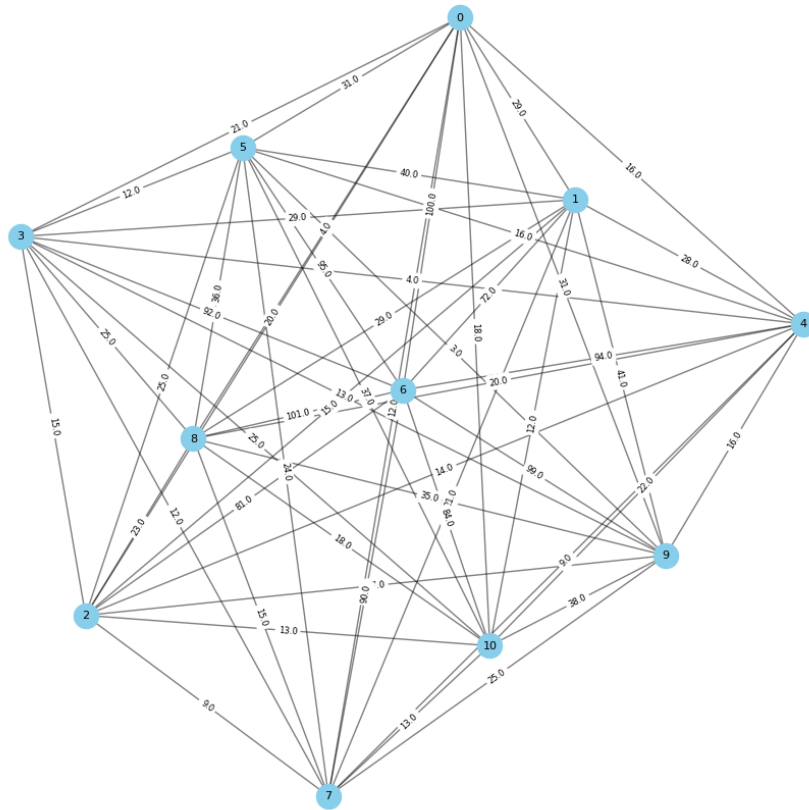


Figura 2: TSP1_253.txt representado como um grafo utilizando matplotlib em python

No 'tsp4' existem desconexões entre alguns nodos, o que atrapalha a confiabilidade do resultado nos algoritmos de Held-Karp e de Christofides. Ao aplicar estes programas à instância os resultados não foram o esperado para o algoritmo aproximativo, enquanto o exato não funcionou.

Isto acontece pois estes algoritmos pressupõe que é possível ir de qualquer vértice para qualquer outro vértice (nas explicações destes algoritmos, a seguir, isto ficará mais claro). E pode ser que seja necessário que o caminho envolva uma aresta que não existe.

Com relação ao 'tsp1', por ele não respeitar a desigualdade triangular, não é possível garantir a qualidade da resposta do algoritmo aproximativo.

$$d(0, 3) = 21 > d(0, 4) + d(4, 3) = 16 + 4 = 20$$

Para contornar este problema, foi implementado, como passo intermediário, o algoritmo **Floyd-Warshall**. Este algoritmo utiliza 3 iterações aninhadas para encontrar a menor distância entre todos os vértices. Se a instância tratar-se de um grafo euclidiano, a menor distância de um nó a outro é o caminho direto, contudo se não há caminho direto (que é o caso de alguns nós no 'tsp4') ou existe um caminho mais curto passando por um outro nodo, este algoritmo cria o menor caminho utilizando algum intermediário e adiciona-o à matriz de adjacência nos índices das distâncias faltantes.

2.3 Held-Karp (Algoritmo Exato e dinâmico)

O algoritmo Held-Karp resolve o Problema do Caixeiro Viajante (TSP) de forma exata utilizando Programação Dinâmica com *bitmasking*, representando subconjuntos de vértices por inteiros. Ele possui complexidade temporal de $O(n^2 \cdot 2^n)$ e espacial de $O(n \cdot 2^n)$, o que o torna computacionalmente viável apenas para instâncias pequenas ou médias ($n \lesssim 22$).

Completamento do grafo Antes da execução principal, o grafo original (possivelmente esparso) é completado usando o algoritmo de Floyd-Warshall (Subseção 2.2), garantindo conectividade total entre os vértices. Isso é necessário pois o algoritmo pressupõe que qualquer vértice pode ser alcançado a partir de qualquer outro. Um exemplo de uso é o `tsp4` que, por não ser completo, era incompatível com o algoritmo.

Definição de Estados A estrutura principal do algoritmo utiliza uma tabela `dp[mask][u]`, onde:

- `mask` representa um subconjunto de vértices visitados, codificado como inteiro.
- `u` representa o último vértice visitado no caminho parcial correspondente ao subconjunto `mask`.
- O valor armazenado é o menor custo para atingir o vértice `u` após visitar todos os vértices em `mask`.

Transição de Estados Para cada estado atual `(mask, u)`, o algoritmo considera todos os vértices `v` ainda não visitados, e tenta estender o caminho:

$$\text{dp}[\text{mask} \mid (1 \ll v)][v] = \min(\text{dp}[\text{mask} \mid (1 \ll v)][v], \text{dp}[\text{mask}][u] + \text{graph}[u][v])$$

Reconstrução do caminho Uma matriz auxiliar `parent[mask][u]` é usada para armazenar o vértice anterior em cada transição de estado. Com isso, é possível reconstruir o caminho ótimo ao final da execução da DP, de trás para frente.

Fechamento do ciclo Após visitar todos os vértices, o algoritmo verifica qual é o menor custo de retornar ao vértice inicial 0, fechando o ciclo Hamiltoniano:

$$\text{dp}[\text{FULL_MASK} - 1][i] + \text{graph}[i][0]$$

Limitações Apesar de ser exato, o algoritmo tem limitações práticas:

- Diferentemente do algoritmo de força bruta, o Held-Karp apresenta um crescimento exponencial no uso de memória, o que geralmente limita sua aplicação a grafos com, no máximo, 20 a 22 vértices. Embora medidas como o uso de arquivos de swap possam permitir a execução em instâncias maiores, isso costuma resultar em uma queda significativa de desempenho.
- Para $n > 63$, mesmo com `uint64_t`, não é possível representar corretamente todos os subconjuntos, pois `1ULL << n` extrapola o tipo.

- O tempo de execução cresce rapidamente, tornando o algoritmo teoricamente inviável para instâncias maiores. No entanto, na prática, o consumo de memória é frequentemente o principal impeditivo: para valores altos de n , o algoritmo pode falhar já na etapa de alocação, impedindo a execução antes mesmo que o tempo de processamento se torne um fator.
- Como armazenamos o caminho em uma matriz `parent[mask][u]` o custo de memória é duplicado, ou seja, passa de $O(n \cdot 2^n)$ para $O(2 \cdot n \cdot 2^n)$. No entanto, essa duplicação não impacta significativamente a complexidade geral, já que o termo dominante continua sendo $O(n \cdot 2^n)$;
- O algoritmo supõe que o grafo é completo e simétrico, necessitando de algoritmos como Floyd-Warshall caso não atenda essas especificações;

Resultados Ao final da execução, são exibidos o custo mínimo do ciclo, o caminho correspondente, o tempo total de execução e o consumo de memória estimado.

2.4 Christofides (Algoritmo Aproximativo)

O algoritmo de Christofides fornece uma solução com fator de aproximação garantido de 1.5-aproximado em grafos. Este resultado é obtido a partir da união de diferentes algoritmos. O passo a passo é:

Árvore Geradora Mínima (MST) Utiliza algoritmo de Prim para encontrar a árvore geradora mínima T .

Combinação perfeita mínima Retira do grafo original os vértices que em T possuem grau par, deixando apenas os vértices que em T possuem grau ímpar, formando um subgrafo M . Utiliza o **algoritmo de Blossom** para encontrar o conjunto de arestas que conecte os pares destes vértices de M com o menor custo possível.

Multigrafo Junta as arestas de T com as de M formando um multigrafo G .

Passeio Euleriano e Ciclo Hamiltoniano Encontra um passeio Euleriano E em G utilizando o **Algoritmo de Hierholzer** e então encontra o ciclo Hamiltoniano pulando os nós repetidos em E .

Saída A saída retorna o passeio aproximado e o seu custo, juntamente com o tempo de execução.

Crescimento assintótico

- **Complexidade temporal:** Mesmo que não seja necessário utilizar **Floyd-Warshall**, o **algoritmo de blossom** possui complexidade temporal contida em $O(n^3)$. Todos os outros algoritmos usados possuem crescimento na ordem de $O(n^3)$ ou menor.
- **Complexidade espacial:** O que mais consome espaço de armazenamento é a matriz de adjacência, portanto o crescimento de complexidade espacial está contido em $O(n^2)$.

3 Resultados

3.1 Força bruta

Instância	Custo Obtido	Tempo (s)	Dif. p/ Ótimo
tsp1_253.txt	253	12.9678	0
tsp2_1248.txt	1.248	0.000706583	0
tsp3_1194.txt	1287	7200	1,078
tsp4_7013.txt	22.304	36000	3,18
tsp5_27603.txt	42.065	36000	1,52

Tabela 2: Resultados do força bruta para as diferentes instâncias do TSP

Caminhos

- tsp1_253.txt: $0 \rightarrow 8 \rightarrow 10 \rightarrow 1 \rightarrow 6 \rightarrow 2 \rightarrow 5 \rightarrow 9 \rightarrow 3 \rightarrow 4 \rightarrow 7 \rightarrow 0$
- tsp2_1258.txt: $0 \rightarrow 5 \rightarrow 4 \rightarrow 3 \rightarrow 2 \rightarrow 1 \rightarrow 0$
- tsp3_1194.txt: $0 \rightarrow 2 \rightarrow 3 \rightarrow 5 \rightarrow 6 \rightarrow 7 \rightarrow 8 \rightarrow 9 \rightarrow 10 \rightarrow 11 \rightarrow 12 \rightarrow 1 \rightarrow 4 \rightarrow 13 \rightarrow 14 \rightarrow 0$
- tsp4_7013.txt: $0 \rightarrow 37 \rightarrow 43 \rightarrow 38 \rightarrow 39 \rightarrow 36 \rightarrow 35 \rightarrow 34 \rightarrow 33 \rightarrow 42 \rightarrow 41 \rightarrow 40 \rightarrow 31 \rightarrow 32 \rightarrow 30 \rightarrow 29 \rightarrow 28 \rightarrow 27 \rightarrow 26 \rightarrow 25 \rightarrow 24 \rightarrow 23 \rightarrow 22 \rightarrow 21 \rightarrow 20 \rightarrow 19 \rightarrow 18 \rightarrow 17 \rightarrow 16 \rightarrow 15 \rightarrow 14 \rightarrow 13 \rightarrow 12 \rightarrow 11 \rightarrow 10 \rightarrow 9 \rightarrow 8 \rightarrow 7 \rightarrow 6 \rightarrow 5 \rightarrow 4 \rightarrow 3 \rightarrow 2 \rightarrow 1 \rightarrow 0$
- tsp5_27603.txt: $0 \rightarrow 18 \rightarrow 17 \rightarrow 16 \rightarrow 20 \rightarrow 21 \rightarrow 22 \rightarrow 28 \rightarrow 27 \rightarrow 25 \rightarrow 19 \rightarrow 24 \rightarrow 26 \rightarrow 23 \rightarrow 15 \rightarrow 14 \rightarrow 13 \rightarrow 12 \rightarrow 11 \rightarrow 10 \rightarrow 9 \rightarrow 8 \rightarrow 7 \rightarrow 6 \rightarrow 5 \rightarrow 4 \rightarrow 3 \rightarrow 2 \rightarrow 1 \rightarrow 0$

Conclusão Os resultados dos TSP's 'tsp4' e 'tsp5' foram obtidos após 10 horas de execução. São caminhos sub-ótimos. Levando em conta o número de permutações executadas e o número total de permutações existentes, é possível realizar uma estimativa do tempo de execução necessário para obtermos o menor caminho na máquina utilizada:

- Para o 'tsp5', foram executadas $5.805.537.839$ permutações de um total de $3,048883446 \times 10^{29}$, logo seriam necessárias $5,251681292 \times 10^{20}$ horas ou $5,995069968 \times 10^{16}$ anos. Isto é o equivalente a $4.611.592x$ a idade atual do universo.

- Para o 'tsp4', foram executadas $5.995.501.228$ permutações de um total de $6,041526306 \times 10^{52}$, logo seriam necessárias $1,007676602 \times 10^{44}$ horas ou $1,150315756 \times 10^{40}$ anos. O que é um número de anos tão absurdo que nenhuma comparação é capaz de dar a dimensão correta desta grandeza.

O resultado do TSP 'tsp3' foi obtido após 2 horas de execução. A estimativa para o final da execução:

- foram executadas $1.856.814.026$ permutações de um total de $87.178.291.200$, logo seriam necessárias $93,9$ horas para o fim da execução.

3.2 Held-Karp

Instância	Custo Obtido	Tempo (s)
tsp1_253.txt	253	0.00282435
tsp2_1248.txt	1248	6.9771e-05
tsp3_1194.txt	1194	0.0537157
tsp4_7013.txt	–	–
tsp5_27603.txt	–	–

Tabela 3: Resultados do Held-Karp para as diferentes instâncias do TSP

- tsp1_253.txt: $0 \rightarrow 8 \rightarrow 10 \rightarrow 1 \rightarrow 1 \rightarrow 6 \rightarrow 9 \rightarrow 5 \rightarrow 3 \rightarrow 4 \rightarrow 8 \rightarrow 0$
- tsp2_1248.txt: $0 \rightarrow 1 \rightarrow 5 \rightarrow 4 \rightarrow 3 \rightarrow 2 \rightarrow 0$
- tsp3_1194.txt: $0 \rightarrow 1 \rightarrow 9 \rightarrow 10 \rightarrow 11 \rightarrow 12 \rightarrow 13 \rightarrow 14 \rightarrow 8 \rightarrow 6 \rightarrow 5 \rightarrow 7 \rightarrow 4 \rightarrow 3 \rightarrow 2 \rightarrow 0$
- tsp4_7013.txt: –
- tsp5_27603.txt: –

Conclusão O algoritmo de Held-Karp se mostrou eficiente para grafos pequenos e médios, obtendo o resultado exato de forma rápida para os testes tsp1 (11 nós), tsp2 (6 nós) e tsp3 (15 nós). No entanto, para grafos grandes ($n \gtrsim 22$) seu alto consumo de memória o torna inviável, levando à falha na alocação de memória (bad_alloc) antes mesmo da execução ser iniciada. Para que fosse possível executar o algoritmo de Held-Karp para o tsp5 (29 nós), seria necessário um sistema com uma grande quantidade de memória RAM disponível.

No caso específico de $n = 29$, teríamos:

$$n \times 2^n = 29 \times 2^{29} = 29 \times 536870912 \approx 15569256448$$

entradas. Supondo que cada entrada da tabela (um número inteiro representando o custo mínimo) ocupe 4 bytes, o consumo total de memória seria aproximadamente:

$$15569256448 \times 4B \approx 62277025792B \approx 58GB.$$

Já no caso do tsp4, que possui $n = 44$ nós:

$$n \times 2^n = 44 \times 2^{44} = 44 \times 17592186044416 \approx 774056185953984$$

entradas, o que resulta em:

$$774056185953984 \times 4B \approx 3096224743815936B \approx 2812TB.$$

Levando em consideração que também armazenamos o caminho, esse valor dobra de tamanho. Logo, se torna inviável rodá-lo em grafos grandes sem uma outra lógica para lidar com o problema de memória (swap file);

3.3 Chirstofides

Instância	Custo Obtido	Tempo (s)	Dif. p/ Ótimo
tsp1_253.txt	259	0,0016	1,02
tsp2_1248.txt	1.272	0,000779	1,019
tsp3_1194.txt	1.411	0,001159	1,18
tsp4_7013.txt	13.512	0,01	1,92
tsp5_27603.txt	30.652	0,005	1,11

Tabela 4: Resultados do Christofides para as diferentes instâncias do TSP

Caminhos

- tsp1_253.txt: $0 \rightarrow 7 \rightarrow 2 \rightarrow 10 \rightarrow 1 \rightarrow 6 \rightarrow 9 \rightarrow 5 \rightarrow 3 \rightarrow 4 \rightarrow 8 \rightarrow 0$
- tsp2_1248.txt: $0 \rightarrow 1 \rightarrow 5 \rightarrow 4 \rightarrow 3 \rightarrow 2 \rightarrow 0$
- tsp3_1194.txt: $0 \rightarrow 1 \rightarrow 9 \rightarrow 10 \rightarrow 11 \rightarrow 12 \rightarrow 13 \rightarrow 14 \rightarrow 8 \rightarrow 6 \rightarrow 5 \rightarrow 7 \rightarrow 4 \rightarrow 3 \rightarrow 2 \rightarrow 0$
- tsp4_7013.txt: $0 \rightarrow 7 \rightarrow 22 \rightarrow 21 \rightarrow 16 \rightarrow 1 \rightarrow 2 \rightarrow 23 \rightarrow 24 \rightarrow 38 \rightarrow 43 \rightarrow 3 \rightarrow 39 \rightarrow 17 \rightarrow 25 \rightarrow 29 \rightarrow 15 \rightarrow 12 \rightarrow 11 \rightarrow 6 \rightarrow 5 \rightarrow 28 \rightarrow 27 \rightarrow 9 \rightarrow 8 \rightarrow 10 \rightarrow 32 \rightarrow 30 \rightarrow 18 \rightarrow 19 \rightarrow 31 \rightarrow 40 \rightarrow 20 \rightarrow 41 \rightarrow 42 \rightarrow 13 \rightarrow 14 \rightarrow 4 \rightarrow 26 \rightarrow 36 \rightarrow 34 \rightarrow 35 \rightarrow 33 \rightarrow 37 \rightarrow 0$
- tsp5_27603.txt: $0 \rightarrow 1 \rightarrow 5 \rightarrow 4 \rightarrow 3 \rightarrow 2 \rightarrow 6 \rightarrow 8 \rightarrow 7 \rightarrow 11 \rightarrow 12 \rightarrow 13 \rightarrow 16 \rightarrow 17 \rightarrow 21 \rightarrow 22 \rightarrow 20 \rightarrow 28 \rightarrow 27 \rightarrow 25 \rightarrow 19 \rightarrow 15 \rightarrow 24 \rightarrow 26 \rightarrow 23 \rightarrow 18 \rightarrow 14 \rightarrow 9 \rightarrow 10 \rightarrow 0$

Conclusão Em geral, o algoritmo entregou resultados bastante abaixo de 1,5-aproximado em um tempo muito baixo. Isto justifica o seu uso e utilidade conforme as instâncias do problema crescem.

O resultado do 'tsp4' (1,9x pior que o resultado ótimo esperado) sugere que o custo ótimo para esta instância não é o custo passado no nome do arquivo. Mesmo que **Christofides** tenha entregue o pior resultado (1,5x o caminho ótimo), o que é bastante difícil, o custo do caminho ótimo seria 9008. Ainda assim, a confirmação desta hipótese não pode ser feita em computadores casuais antes do fim do universo (Utilizando força bruta para a memória não ser um problema).

Observações

- Instâncias maiores (por exemplo, $n > 25$) causaram erro de alocação de memória com Held-Karp.
- O algoritmo de força bruta foi interrompido por tempo em casos com $n \geq 29$.
- Christofides manteve tempos baixos mesmo em instâncias maiores.

4 Conclusão

Nesse documento, foram apresentadas diferentes soluções para o problema do caixeiro viajante (TSP), incluindo algoritmos lineares, dinâmicos e aproximativos. Foi possível observar a utilidade de cada um para os diferentes casos de uso (lineares para precisão em grafos pequenos e aproximativos para resultados sub-ótimos em grafos grandes) e o porquê é importante para o profissional saber avaliar o problema e escolher o algoritmo certo para a situação;

5 Executando o código

Após fazer o download do repositório do github, faça a extração, entre na pasta com os arquivos e então, em um terminal siga o seguinte passo-a-passo:

1. `$make clean`
2. `$make`
3. `$. /TSP_algorithms tsp/{nome_do_arquivo.txt} 0`

Obs - O número ao final do comando indica qual algoritmo será usado para a resolução: 0 para força bruta, 1 para Held-Karp e 2 para Christofides.

Referências

- [1] Gutin, G. and Punnen, A. *The Traveling Salesman Problem and Its Variations*. Springer, 2002.
- [2] Held, M. and Karp, R. M. A dynamic programming approach to sequencing problems. *Journal of the Society for Industrial and Applied Mathematics*, 1962.
- [3] Floyd, R. W. Algorithm 97: Shortest Path. *Communications of the ACM*, 5(6):345, 1962.
- [4] Christofides, N. Worst-case analysis of a new heuristic for the travelling salesman problem. Technical Report 388, Carnegie Mellon University, 1976.
- [5] Cormen, T. H., Leiserson, C. E., Rivest, R. L., e Stein, C. *Algoritmos: Tradução da 2ª Edição Americana*. [s.l.]: Elsevier, 2002.
- [6] Kolmogorov, V. *Blossom V: A New Implementation of a Minimum Cost Perfect Matching Algorithm*. Mathematical Programming Computation, v. 1, n. 1, p. 43–67, 2009.